网络出版时间: 2016 - 10 - 19 13: 54: 51 网络出版地址: http://www.cnki.net/kcms/detail/34.1065. R. 20161019. 1354. 006. html

内源性硫化氢在低氧/无血清诱导 骨髓间充质干细胞凋亡中的作用

李从圣¹ 郭碧蓉² 汪爱玲³ 郭 增⁴ 杨 静¹ 郝玉瑜¹

摘要 目的 探讨内源性硫化氢(H_2S) 在低氧/无血清(H/SD) 诱导骨髓间充质干细胞(MSCs) 凋亡中的作用。方法体外分离培养大鼠 MSCs 用 H/SD 处理 MSCs 建立 H/SD 诱导 MSCs 凋亡的实验模型 构建 CSE 重组慢病毒载体并转染 MSCs PI 染色流式细胞术检测 MSCs 凋亡率 ,Western blot 法检测 MSCs 中 CSE 蛋白的表达 亚甲基蓝分光光度计法检测 MSCs 内源性 H_2S 的含量。结果 MSCs 存在内源性 H_2S 及其合成酶 CSE 蛋白的表达 ,H/SD 可呈时间依赖性诱导 MSCs 凋亡 。显著抑制 MSCs 内源 H_2S 生成和 CSE 蛋白的表达; 而 CSE 过表达则明显抑制 H/SD 诱导的 MSCs 凋亡 ,促进 MSCs 内源 H_2S 生成。结论 CSE/H_2S 代谢途径功能障碍促进 H/SD 诱导 MSCs 凋亡 ,内源性 H_2S 参与了 H/SD 诱导 MSCs 凋亡。

关键词 骨髓间充质干细胞; 硫化氢; 胱硫醚 y - 裂解酶; 低氧/无血清; 凋亡

中图分类号 R 542.22

文献标志码 A 文章编号 1000 – 1492(2016) 12 – 1743 – 06 doi: 10.19405/j. cnki. issn1000 – 1492, 2016. 12.006

急性心肌梗死 (acute myocardial infarction , AMI) 及其引起的心力衰竭是严重危害人类健康的心血管疾病 $^{[1]}$ 。骨髓间充质干细胞 (mesenchymal stem cells , MSCs) 移植已成为治疗 AMI 最有潜力的方法之 $^{[2-3]}$ 。然而 MSCs 移植早期大量死亡的问题严重制约了细胞移植的疗效 $^{[4]}$ 。研究 $^{[5]}$ 表明 ,心肌缺血微环境诱导的细胞凋亡是导致这一现象的主要因素。硫化氢 (hydrogen sulfide , H_2S) 是新发现的一种气体信号分子 ,在哺乳动物 ,内源性 H_2S 主要由胱硫醚 γ -裂解酶 (cystathionine γ -lyase , CSE) 、

2016-06-15 接收

基金项目: 国家自然科学基金(编号: 81301352); 北京协和医学基金 - 睿 E(睿意) 急诊医学科研专项基金(编号: R2015012); 安徽医科大学校科研基金(编号: 2015xkj062)

作者单位: 安徽医科大学第三附属医院(合肥市第一人民医院)¹ 急 诊部、² 皮肤科,合肥 230061

3安徽医科大学第一附属医院心内科 合肥 230022

4安徽省第二人民医院重症医学科 ,合肥 200041

作者简介: 李从圣 ,男 副主任医师 ,责任作者 ,E-mail: lcs2008@ yeah.

1 材料与方法

1.1 主要试剂 低糖-DMEM 培养基(L-DMEM)、胎牛血清(FBS)购自美国 Hyclone 公司; 碘化丙叮(PI)、0.25%胰酶购自美国 Sigma 公司; 低氧试剂购自法国 BioMérieuxsa 公司; N,N-二甲基 - 对苯二胺盐酸盐购自上海生工生物工程有限公司; β-actin、CBS 及 CSE 抗体购自美国 Santa Cruz 公司; Lipofectamine 2000购自英国 Invitrogen 公司; Polybrene购自美国 Chemicon 公司。

1.2 MSCs 分离、培养及传代 成年清洁型 SD 大鼠(4 周龄 80 g 左右) 由安徽医科大学实验动物中心提供,所有实验经安徽医科大学实验动物委员会批准。将大鼠断颈处死后,无菌条件下取股骨及胫骨,显露骨髓腔,用不含 FBS 的 L-DMEM 培养液 10 ml 冲洗骨髓腔 获取骨髓细胞悬液。将冲洗液收集离心管中,1 200 r/min 离心 5 min,弃上清液,在细胞沉淀中加入含 15% FBS 的 L-DMEM 培养液 5 ml,小心吹打均匀成细胞悬液后,将细胞悬液移入备好的培养瓶中,置于 37 ℃、5% CO₂ 孵箱内,培养 3 d后,首次换液弃去悬浮细胞,认为此时贴壁部分的细胞为 MSCs,以后每隔 3 d 换液培养。每日在倒置显微镜下观察 MSCs 的生长情况和形态学变化。当细胞长至铺满培养瓶底部 80% 左右时,以 0. 25% 的胰

蛋白酶消化 按1:2 密度进行传代。传第3代时使用 CD34、CD44、CD45、CD90 单克隆抗体,采用流式细胞仪检测其表面抗原,证实培养的细胞为 MSCs,选取生长良好的第3代细胞进行实验。

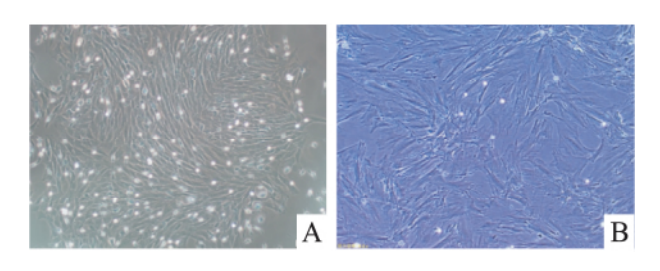
- 1.4 PI 染色流式细胞仪检测 MSCs 凋亡 低氧时间完成后 ,用 0.25% 胰蛋白酶消化 MSCs ,1~000~r/ min 离心 10~min ,去上清液 ,PBS 漂洗 $2~\chi$,沉淀中加入 70% 冰乙醇固定。1~000~r/min 离心 10~min ,去上清液 ,PBS 漂洗 $2~\chi$,调整细胞浓度为 $1~\times 10^6/$ ml。加 $50~\mu$ l RNase A 至终浓度为 1~g/L ,37~% 水浴 30~min。加 PI 至终浓度 $5~\mu g/ml$, 350~目尼龙网滤膜过滤去除细胞团块 4~%避光染色 30~min 后 ,上流式细胞仪检测(激发波长: 488~mm; 发射波长: 610~mm) 各期细胞 DNA 的含量。测定数据按流式细胞仪所配置的软件进行数据处理 ,以 DNA 直方图出现低于 G1~期 DNA 含量的亚 G1~峰的大小代表凋亡细胞的多少。
- 1.5 Western blot 法检测 MSCs 中 CBS、CSE 蛋白的表达 低氧时间完成后 裂解细胞提取总蛋白 考马兰亮蓝法行蛋白定量 $_{\rm H}$ $_{\rm 10\%}$ 分离胶、 $_{\rm 5\%}$ 浓缩胶进行 SDS-PAGE 电泳 $_{\rm 100}$ V 恒压电泳 30 min ,再 150 V 恒压电泳 50 min。随后用 220 mA 恒流转膜 2 h ,将凝胶中的蛋白转移至醋酸纤维素膜上 (NC膜)。5% 脱脂奶粉室温封闭 2 h ,分别加入一抗(兔抗鼠 CBS、兔抗鼠 CSE ,均为 1:500 稀释) $_{\rm 4}$ $_{\rm 5\%}$ 解育过夜 , $_{\rm 7BST}$ 洗膜 3 次 ,每次 8 min 加入二抗(辣根过氧化物酶标记的羊抗兔 $_{\rm 1g}$ $_{\rm 6}$ $_{\rm 7}$ $_{\rm 7}$
- 1.6 MSCs 培养液中内源性 H_2S 含量的测定 低氧时间完成后 取 310 μ l 各组细胞培养液入 EP 管。分别依次加入 20 g/L 醋酸锌 30 μ l 200 g/L 三氯醋酸 60 μ l 20 mmol/L N ,N-二甲基 对苯二胺盐酸

- 盐(7.2 mol/L HCL 配制) 40 μ l 和 30 mmol/L 三氯化铁(1.2 mol/L HCL 配制) 30 μ l ,迅速合上 EP 管并震荡混匀 37 $^{\circ}$ C静置 10 min β 000 r/min 离心 10 min。分光光度计检测上清液在 670 nm 处的吸光度 (absorbance ,A) 值。通过 BCA 蛋白定量和 NaHS 标准曲线计算标本中 H_3S 的含量。
- 1.7 CSE 慢病毒载体的构建、包装及感染 以 SD 大鼠 MSCs 细胞基因组为模板 ,采用特异性 PCR 引 物扩增 CSE 基因(NCBI Genbank 号: AY_032875)的 CDS 区域序列(F: 5'-GTATGGAGGCACCAACAGGT-3′,R:5′-GTTGGGTTTGTGGGTGTTTC-3′),通过限制 性酶切、连接、转化等基因克隆技术 构建携带 CSE 基因的慢病毒表达载体 pLV-ZsGreen-CSE lentivirus 及空载体 pLV-ZsGreen lentivus ,将慢病毒载体和辅 助包装质粒转染 293T 包装细胞系 持染 48 h 后在 荧光显微镜下观察绿色荧光蛋白表达情况以判断病 白结合的滤头过滤获得病毒悬液。2×106 MSCs 细 胞接种于 10 cm 细胞培养皿中 培养 24 h 待细胞融 合度达到30%左右更换含Polybrene 的培养基,计入 病毒悬液感染靶细胞(分别记为^{CSE}MSCs、^{GFP}MSCs), 病毒感染 48 h 后在荧光显微镜下观察细胞内绿色 荧光蛋白的表达情况以判断病毒的感染效率, 收取 蛋白用于检测 CSE 基因的过表达情况。
- 1.8 统计学处理 采用 SPSS 13.0 软件进行分析,数据采用 $\bar{x} \pm s$ 表示。多组均数之间比较采用方差分析(ANOVA) 差异有统计学意义时组内两两比较采用 SNK-q 检验。

2 结果

- 2.1 大鼠 MSCs 生长和鉴定 采用倒置显微镜下观察 MSCs 的生长情况,原代 MSCs 接种 24 h 后可见散在分布的贴壁 MSCs 随后胞体由圆形逐渐伸展为椭圆形、多角形、短梭型、长梭型,并且呈现集落式生长。传代后,细胞形态基本趋于一致,呈长梭型。应用流式细胞仪检测第 3 代 MSCs 表面抗原标记CD44、CD90表达阳性,CD34、CD45表达阴性,各表面抗原在 MSCs 中的阳性比例比较稳定[12]。见图1。
- **2.2** MSCs 内源性 H_2S 合成酶的表达 采用 Western blot 法检测 MSCs 是否存在内源性 H_2S 合成酶 CBS 和 CSE 的表达 ,结果显示在 MSCs 中有 H_2S 合成酶 CSE 蛋白表达而无 CBS 蛋白表达。见图 2A。为进一步证实 CSE 为 MSCs 内源性 H_2S 主要合成

酶 采用亚甲基蓝分光光度计方法检测 CBS 抑制剂 (AOAA)及CSE 抑制剂(PAG)对 MSCs 内源性 H2S 生成的影响,结果显示 MSCs 在加入底物 L-半胱氨 酸后能够产生内源性 H,S ,CSE 抑制剂 PAG 显著抑 制 MSCs 内源性 H_2S 生成 ,而 CBS 抑制剂 AOAA 对 MSCs 内源性 H,S 生成没有影响(F = 447.996,P < 0.01)。见图 2B。



倒置显微镜下观察大鼠 MSCs 的形态 A: 原代(P0); B: 第3代(P3)

- 2.3 H/SD 对 MSCs 凋亡的影响 MSCs 经 PI 染 色后,用流式细胞仪检测 MSCs 凋亡情况,结果显 示: 与对照组比较 ,H/SD 培养 MSCs 3、6、12、24 h 后 各组细胞凋亡率显著增加,差异有统计学意义(F= 3 817.092 P < 0.01)。见图3。
- 2.4 H/SD 对 MSCs 内源性 H,S 生成的影响 用亚甲基蓝分光光度计方法检测 H/SD 对 MSCs 内

源性 H₂S 生成的影响 ,结果显示: 正常状态下 MSCs 能生成内源性 H_2S 与对照组比较 随着 H/SD 时间

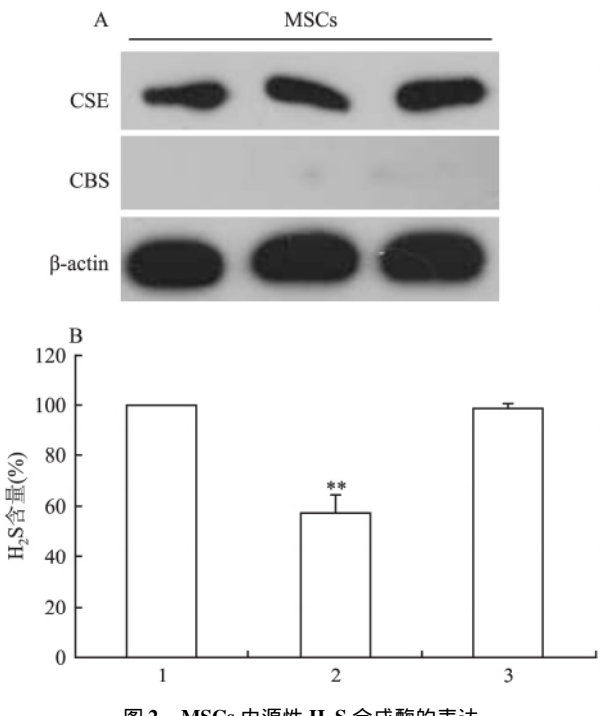


图 2 MSCs 内源性 H_2S 合成酶的表达

A: Western blot 法检测 MSCs 内源性 H2S 合成酶 CSE 及 CBS 蛋 白的表达情况; B: CBS 抑制剂(AOAA) 及 CSE 抑制剂(PAG) 对 MSCs 内源性 H_2S 生成的影响; 1: 对照组; 2: PAG 组; 3: AOAA 组; 与对照 组比较: **P<0.01

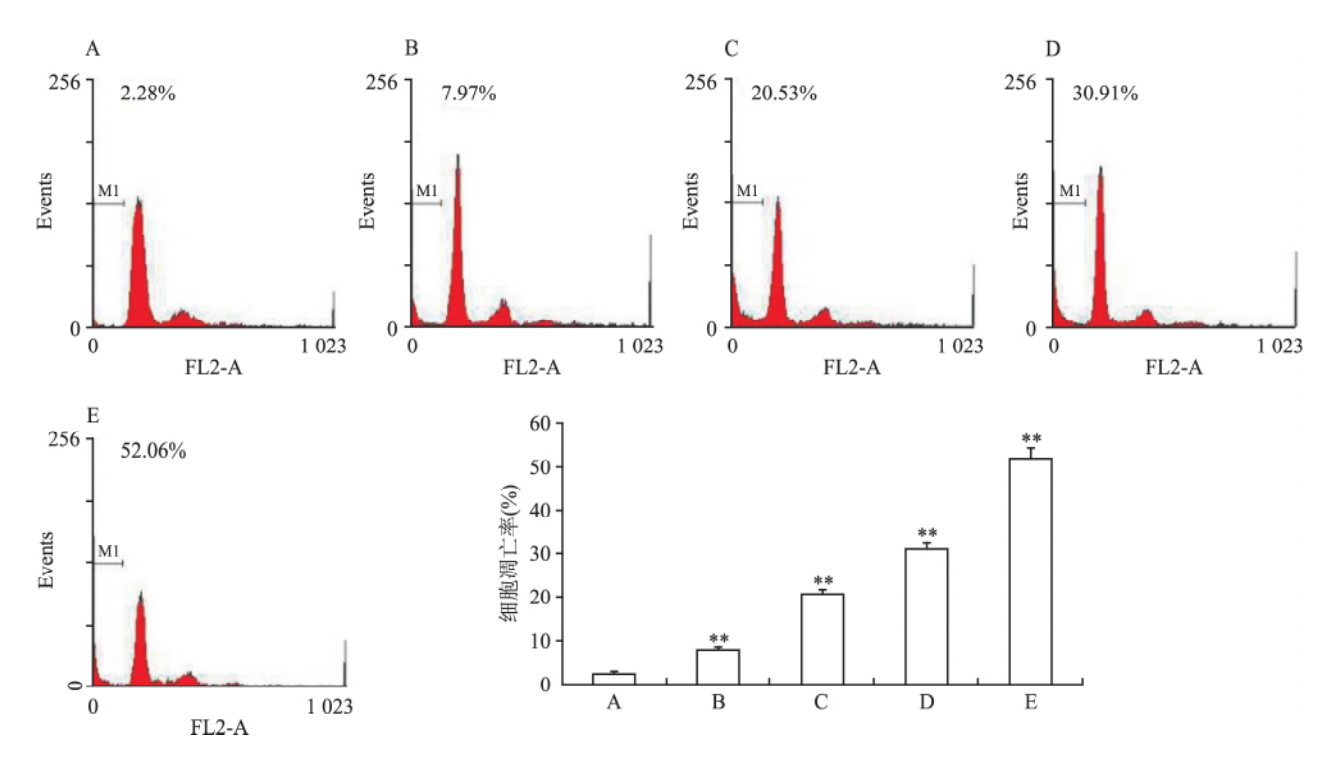


图 3 H/SD 对 MSCs 凋亡的影响

A: 对照组; B: H/SD 3 h 组; C: H/SD 6 h 组; D: H/SD 12 h 组; E: H/SD 24 h 组; 与对照组比较: **P<0.01

的延长(3.6.12.24 h) ,内源性 H_2S 水平显著降低,差异有统计学意义(F=578.974 ,P<0.01)。 见图 4.8

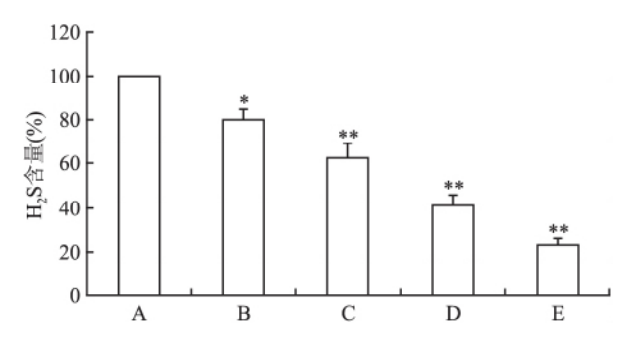


图 4 H/SD 对 MSCs 内源性 H,S 生成的影响

A: 对照组; B: H/SD 3 h 组; C: H/SD 6 h 组; D: H/SD 12 h 组; E: H/SD 24 h 组; 与对照组比较: * P < 0.05 , ** P < 0.01

2.5 H/SD 对 MSCs 内源性 H_2S 合成酶 CSE 蛋白表达的影响 采用 Western blot 法检测 H/SD 对 MSCs 内源性 H_2S 合成酶 CSE 蛋白表达影响 ,结果显示: 与对照组比较 ,随着低氧时间延长(3.6.12.24 h) ,CSE 蛋白表达显著降低 ,差异有统计学意义(F=224.505 P<0.01)。见图 5.8

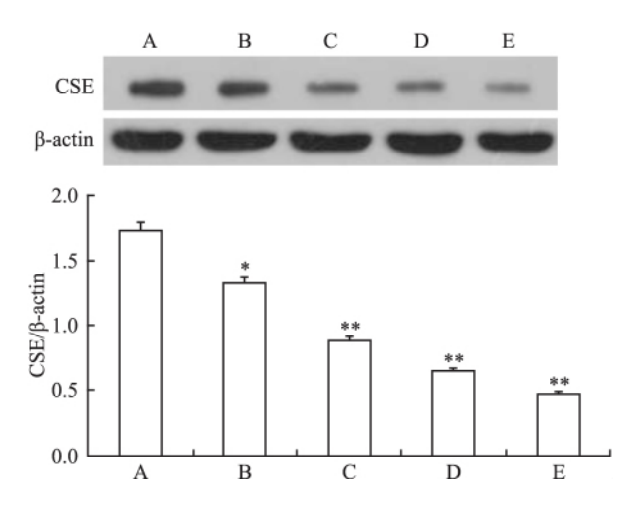


图 5 H/SD 对 MSCs 内源性 H₂S 合成酶 CSE 蛋白表达的影响 A: 对照组; B: H/SD 3 h 组; C: H/SD 6 h 组; D: H/SD 12 h 组; E: H/SD 24 h 组; 与对照组比较: * P < 0.05 , ** P < 0.01

2.6 CSE 过表达对 MSCs 内源性 H₂S 生成及 MSCs 凋亡的影响 首先构建 SD 大鼠 CSE 基因的 慢病毒表达载体 pLV-ZsGreen-CSE lentivirus 及空载体 pLV-ZsGreen lentivus ,利用慢病毒包装体系 ,在 293T 细胞中进行病毒颗粒的包装并分别感染 MC-Ss ,建立稳定表达 CSE 的 MSCs。Western blot 检测结果显示 ,与Norm MSCs 及 pLVX-IRES-ZsGreen 空载

组(GFP MSCs) 比较, pLVX-IRES-ZsGreen-CSE(CSE MSCs) CSE 蛋白表达明显增加(F=3 817.092 ,P<0.01) 表明 CSE 基因过表达细胞系建立成功,见图 6。用 H/SD 诱导 MSCs 凋亡 12 h 后 ,与 GFP MSCs 及 Norm MSCs 比较, CSE MSCs 组内源性 H_2 S 含量显著增加(F=1 763.797 ,P<0.05) ,见图 7 ,而 CSE MSCs 组细胞凋亡率显著低于 GFP MSCs 及 Norm MSCs 组(F=4 023.529 ,P<0.05) ,见图 8。

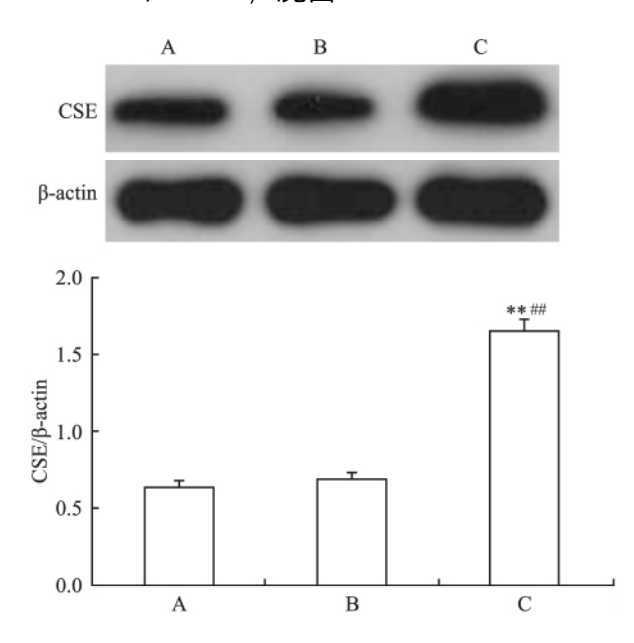


图 6 慢病毒转染 MSCs CSE 蛋白的表达

A: $^{\rm Norm}$ MSCs; B: $^{\rm GFP}$ MSCs; C: $^{\rm CSE}$ MSCs; 与 $^{\rm Norm}$ MSCs 比较: ** P < 0.01; 与 $^{\rm GFP}$ MSCs 比较: ## P < 0.01

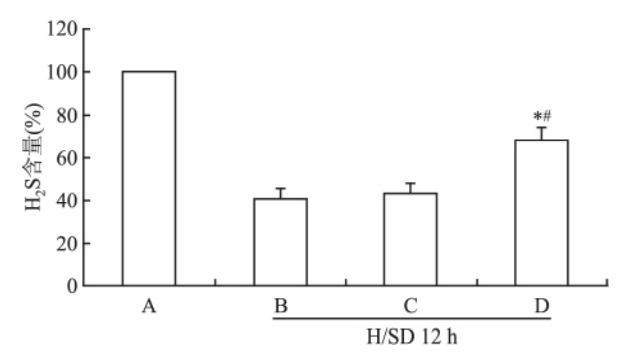
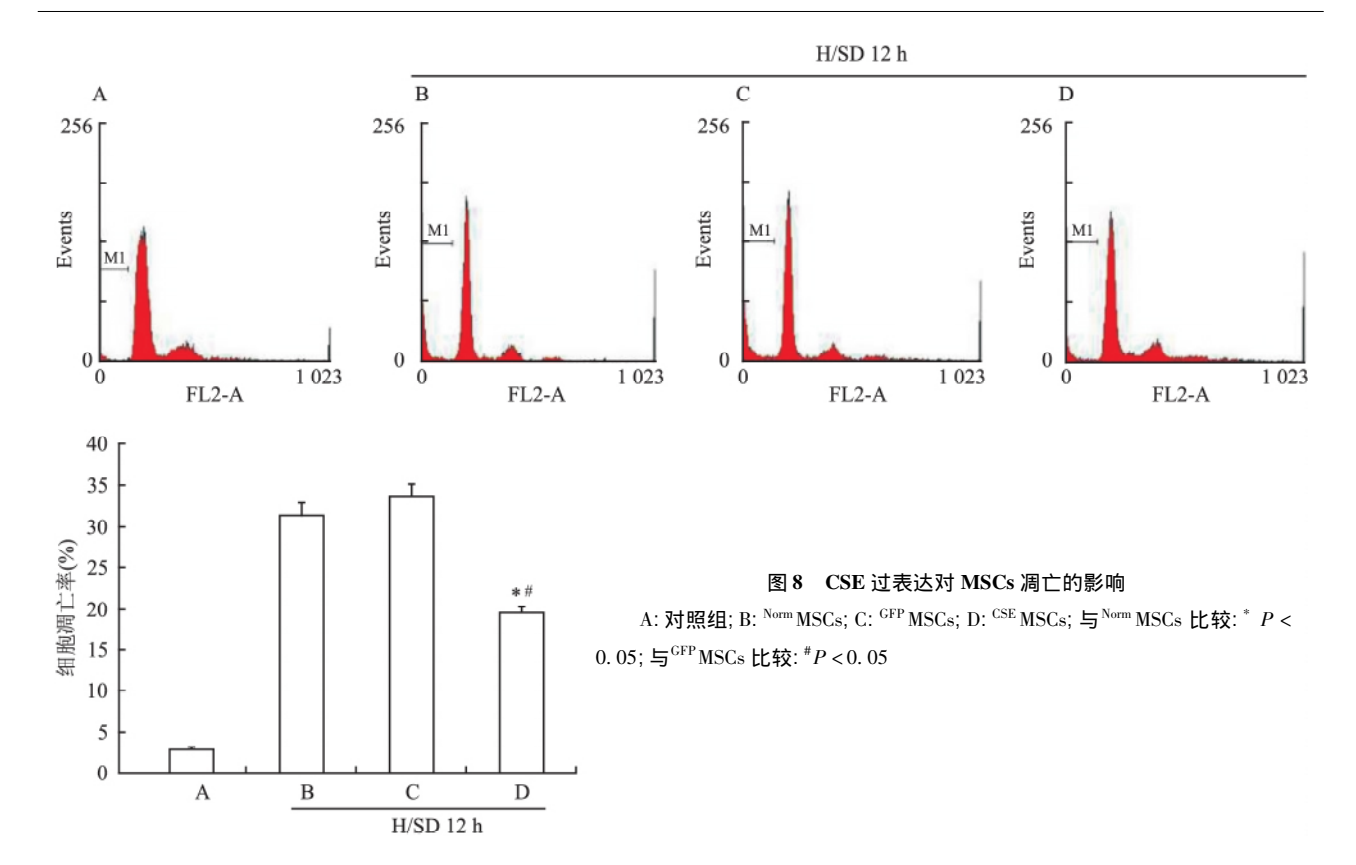


图 7 CSE 过表达对 MSCs 内源性 H_2S 生成的影响

A: 对照组; B: Norm MSCs; C: GFP MSCs; D: CSE MSCs; 与Norm MSCs 比较: *P < 0. 05; 与GFP MSCs 比较: *P < 0. 05

3 讨论

 H_2S 是继 NO 和 CO 之后新发现的一种气体信号分子。内源性 H_2S 是机体多种细胞以半胱氨酸为底物主要由 CSE、CBS 催化合成产生,CSE、CBS 分布广泛,但其分布具有显著组织差异性,心血管系



统主要通过 CSE 催化产生 H_2S 神经系统主要存在 CBS ,而没有 CSE 在肝脏和肾脏组织中 CBS 和 CSE 均有表达 $^{[13]}$ 。 MSCs 是存在于骨髓中的非造血细胞 具备多向分化潜能、采集方便、免疫原性低、自体移植可行性高等优点 $^{[14]}$,从而使 MSCs 成为细胞移植治疗 AMI 的首选靶细胞 $^{[2-3]}$ 。 本实验结果显示,MSCs 能够产生内源性 H_2S ,MSCs 内仅有 H_2S 合成酶 CSE 蛋白表达而无 CBS 蛋白表达,且 CSE 抑制剂 PAG 显著抑制了 MSCs 内源性 H_2S 生成,而 CBS 抑制剂 AOAA 对 MSCs 内源性 H_2S 生成没有影响。提示 MSCs 具有合成内源性 H_2S 的能力,CSE 是 MSCs 内源性 H_2S 合成关键酶。

尽管 MSCs 移植已成为治疗 AMI 最有潜力的方法之一。然而,心肌缺血微环境诱导的 MSCs 凋亡严重制约了细胞移植的疗效。因此,探讨心肌缺血微环境诱导 MSCs 凋亡的机制并寻求一种有效的抗 MSCs 凋亡的方法有着十分重要的意义。 H_2S 的重要生物学功能是调节细胞凋亡,研究 $^{[7-9]}$ 证实, H_2S 参与了心肌细胞、血管内皮细胞及气管上皮细胞等凋亡的调节。那么,内源性 H_2S 是否参与心肌缺血微环境诱导 MSCs 凋亡的调节。本研究结果显示,与对照组比较,H/SD 可呈时间依赖性诱导 MSCs 凋亡 这与既往实验 $^{[15]}$ 结果相一致;另外,随着 H/SD 时间的延长(3、6、12、24 h),MSCs 内源 H,S 生成和

CSE 蛋白表达显著减少 ,结合以上结果 ,推测 H/SD 抑制了 MSCs 中 CSE 蛋白表达 ,导致内源性 H_2S 生 成减少 ,最终促使 H/SD 诱导 MSCs 凋亡。

为了进一步证实内源性 H_2S 生成减少是 H/SD 诱导 MSCs 凋亡的潜在机制 ,本研究观察了 CSE 过表达对 H/SD 诱导 MSCs 凋亡及内源性 H_2S 生成的影响 结果显示 在 H/SD 诱导 MSCs 凋亡 12 h 状态下 与 GFP MSCs 及 NOTHM MSCs 比较 , GSE MSCs 组内源性 H_2S 含量显著增加 。同时 GSE MSCs 组细胞凋亡率显著低于 GSE G

综上所述 MSCs 具有合成内源性 H_2S 的能力, CSE 是 MSCs 内源性 H_2S 合成关键酶; H/SD 可通过 抑制 MSCs 中 CSE 蛋白表达 $减少内源性 <math>H_2S$ 生成,从而促使 H/SD 诱导 MSCs 凋亡; 而 CSE 过表达则明显抑制 H/SD 诱导的 MSCs 凋亡 促进 MSCs 内源 H_2S 生成。本研究为深入阐明 H/SD 诱导 MSCs 凋亡机制提供了有意义的实验依据,也为临床改善 MSCs 移植治疗 AMI 疗效提供了新的策略。

参考文献

[1] Lloyd-Jones D M , Larson M G , Leip E P , et al. Lifetime risk for developing congestive heart failure: the Framingham Heart Study

- [J]. Circulation 2002 ,106(24):3068-72.
- [2] Nesselmann C, Ma N, Bieback K, et al. Mesenchymal stem cells and cardiac repair[J]. J Cell Mol Med, 2008, 12(5B): 1795 – 810.
- [3] Leistner D M , Fischer-Rasokat U , Honold J , et al. Transplantation of progenitor cells and regeneration enhancement in acute myocardial infarction (TOPCARE-AMI): final 5-year results suggest long-term safety and efficacy [J]. Clin Res Cardiol , 2011 , 100 (10): 925 34.
- [4] Müller-Ehmsen J, Krausgrill B, Burst V, et al. Effective engraftment but poor mid-term persistence of mononuclear and mesenchymal bone marrow cells in acute and chronic rat myocardial infarction [J]. J Mol Cell Cardiol 2006, 41(5):876-84.
- [5] Zhu W , Chen J , Cong X , et al. Hypoxia and serum deprivation—induced apoptosis in mesenchymal stem cells [J]. Stem Cells , 2006 , 24(2): 416-25.
- [6] Kimura H , Shibuya N , Kimura Y. Hydrogen sulfide is a signaling molecule and a cytoprotectant [J]. Antioxid Redox Signal , 2012 , 17(1):45-57.
- [7] Lu F, Xing J, Zhang X, et al. Exogenous hydrogen sulfide prevents cardiomyocyte apoptosis from cardiac hypertrophy induced by isoproterenol [J]. Mol Cell Biochem, 2013, 381(1-2):41-50.
- [8] Li X , Zhang K Y , Zhang P , et al. Hydrogen sulfide inhibits formaldehyde-induced endoplasmic reticulum stress in PC12 cells by

- upregulation of SIRT-I [J]. PLoS One 2014 9(2): e89856.
- [9] 林 帆 陈亚红 廖程程 等. 硫化氢对尼古丁诱导的人支气管 上皮细胞内质网应激及细胞凋亡的影响[J]. 中华内科医学 杂志,2015,95(28):2297-301.
- [10] Xie X , Sun A , Zhu W , et al. Transplantation of mesenchymal stem cells preconditioned with hydrogen sulfide enhances repair of myocardial infarction in rats [J]. Tohoku J Exp Med ,2012 , 226 (1):29 - 36.
- [11] Liu Y , Yang R , Liu X , et al. Hydrogen sulfide maintains mesenchymal stem cell function and bone homeostasis via regulation of $Ca^{(2+)}$ channel sulfhydration[J]. Cell Stem Cell , 2014 ,15(1): 66 78.
- [12] Wang A, Shen F, Liang Y, et al. Marrow-derived MSCs and ator-vastatin improve cardiac function in rat model of AMI[J]. Int J Cardiol, 2011, 150(1):28-32.
- [13] Calvert J W , Coetzee W A , Lefer D J. Novel insights into hydrogen sulfide-mediated cytoprotection [J]. Antioxid Redox Signal , 2012 ,12(10):1203-17.
- [14] Barry F P, Murphy J M. Mesencymal stem cells: clinical applications and biological characterization [J]. Int J Biochem Cell Biol, 2004 36(4):568 84.
- [15] Nie Y "Han B M "Liu X B "et al. Identification of microRNAs involved in hypoxia-and serum deprivation-induced apoptosis in mesenchymal stem cells [J]. Int J Biol Sci , 2011 7(6):762-8.

Roles of endogenous hydrogen sulfide in hypoxia and serum deprivation-induced apoptosis of mesenchymal stem cells

Li Congsheng¹, Guo Birong², Wang Ailing³, et al (¹Dept of Emergency , ²Dept of Dermatology , The Third

Affiliated Hospital of Anhui Medical University ,The First People's Hospital of Hefei ,

Hefei 230061; ³Dept of Cardiology, The First Affiliated Hospital of Anhui Medical University, Hefei 230022

Abstract *Objective* To explore the effect of endogenous hydrogen sulfide on hypoxia and serum deprivation (H/SD) induced apoptosis in mesenchymal stem cells (MSCs). *Methods* Rat bone marrow MSCs were isolated and cultured *in vitro*, MSCs were treated with H/SD as a apoptosis model. CSE lentivirus vector was constructed and transfected with MSCs. Apoptosis of MSCs was assessed by flow cytometry analysis with PI staining. The protein expression of CSE in MSCs was detected by Western blot. Endogenous H₂S generation in MSCs was measured by the N ,N-dimethyl-p-phenylenediamine sulphate. *Results* Exposure of MSCs to H/SD caused a significant decrease in H₂S generation and resulted in remarkable cell apoptosis. Moreover , under basal conditions MSCs expressed cystathionine gamma-lyase (CSE) and synthesized H₂S whereas CSE expression was inhibited by H/SD treatment. Overexpression of CSE not only markedly prevented H/SD-induced decrease of endogenous H₂S generation but also protected MSCs from apoptosis. *Conclusion* Inhibition of endogenous CSE/H₂S system contributes to H/SD-induced apoptosis and endogenous H₂S plays an important role in regulating H/SD-induced apoptosis in MSCs.

Key words mesenchymal stem cells; hydrogen sulfide; cystathionine gamma-lyase; hypoxia/serum deprivation; apoptosis